

УДК 539.375

## МОДЕЛЬ ТРЕЩИНЫ ПОПЕРЕЧНОГО СДВИГА

В. В. Глаголев, М. В. Девятова, А. А. Маркин

Тульский государственный университет, 300600 Тула, Россия

E-mails: Vadim@tsu.tula.ru, gavrilkina-mv@rambler.ru, MARKIN@uic.tula.ru

На основе модели физического разреза и материального слоя на его продолжении поставлены и решены упругая и упругопластическая задачи определения напряженно-деформированного состояния в слое и вне его при нагружении берегов разреза антисимметричной системой сил. Проведено сравнение решения упругой задачи с решением, полученным в рамках модели Нейбера — Новожилова. Установлено, что в отличие от модели Нейбера — Новожилова использование предлагаемого подхода позволяет получить результаты, согласующиеся с экспериментальными данными о процессе образования зон разрушения. На основе анализа дискретного решения задачи определены зоны пластического деформирования и области возможного разрушения.

**Ключевые слова:** характерный размер, граничное интегральное уравнение, линейная упругость, идеально упругопластическая модель.

DOI: 10.15372/PMTF20150417

Анализ экспериментальных данных показывает, что направление развития трещины типа II не совпадает с ее ориентацией. Это обусловлено возникновением сложного напряженного состояния в концевой области трещины [1, 2]. При этом в упругопластическом материале при выполнении определенного критерия может происходить образование зон пластичности. Как правило, разрушение является завершающим этапом процесса деформирования, при этом материал находится как на стадии упругого, так и на стадии упругопластического формоизменения. Однако, поскольку переход материала в состояние пластичности и разрушения определяется разными физическими механизмами, может возникнуть ситуация, когда при упругопластическом деформировании конструкции процесс разрушения начнется в области упругого деформирования, а не в зоне пластического деформирования. Такой вариант развития процесса деформирования возможен в том случае, если в одной из смежных областей конструкции имеет место увеличение положительной гидростатической составляющей тензора напряжений, а в другой она отсутствует. В этом случае необходимо знать количественные характеристики напряженно-деформированного состояния тела для вычисления критерия. Одним из подходов, используемых при решении данной задачи, является дискретное представление континуума [3–8], в котором на определенном масштабном уровне в неделимых элементарных объемах напряженно-деформированное состояние определяется средними характеристиками. В настоящей работе в рамках дискретного подхода моделируется напряженно-деформированное состояние в окрестности трещины поперечного сдвига.

Работа выполнена при финансовой поддержке Российского фонда фундаментальных исследований (коды проектов 13-08-00134, 13-01-97501\_р\_центр\_а) и Министерства образования и науки РФ (государственное задание № 467).

© Глаголев В. В., Девятова М. В., Маркин А. А., 2015

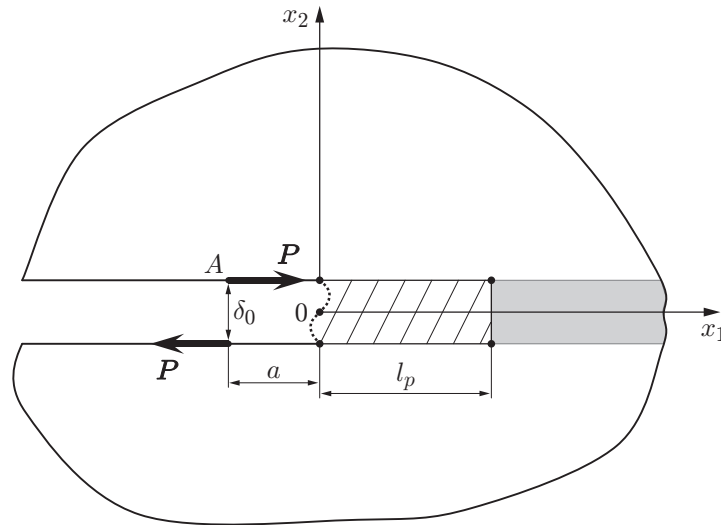


Рис. 1. Схема физического разреза и нагружения

**Постановка задачи.** Рассмотрим процесс нагружения берегов трещины, моделируемой физическим разрезом, имеющим характерную толщину  $\delta_0$ , с материальным слоем на его продолжении [3], антисимметричной системой сил (рис. 1). Значение параметра  $\delta_0$  полагаем минимально возможным при использовании гипотезы сплошности. Оценки линейного размера, введенного через известные механические характеристики, приведены в работах [9, 10], а возможный эксперимент по его определению предложен в [11]. Показано, что данный размер находится в диапазоне  $10^{-6} \div 10^{-4}$  м. Напряженное состояние слоя будем описывать средними по слою и граничными напряжениями, связанными условиями равновесия. Использование средних по толщине слоя напряжений позволяет не конкретизировать геометрию конца физического разреза (пунктирная линия на рис. 1).

Для напряжений на границах слоя используем обозначения  $\sigma_{21}^+(x_1) = \sigma_{21}(x_1, \delta_0/2)$ ,  $\sigma_{21}^-(x_1) = \sigma_{21}(x_1, -\delta_0/2)$ ,  $\sigma_{22}^+(x_1) = \sigma_{22}(x_1, \delta_0/2)$ ,  $\sigma_{22}^-(x_1) = \sigma_{22}(x_1, -\delta_0/2)$ , для средних по слою напряжений —  $\bar{\sigma}_{11}$ ,  $\bar{\sigma}_{22}$ ,  $\bar{\sigma}_{21}$ . Далее все величины, имеющие размерность длины, отнесены к толщине слоя  $\delta_0$ , а величины, имеющие размерность напряжений, — к параметру  $\beta = \pi E / (2(1 - \nu^2))$  в случае плоской деформации и  $\beta = \pi E / 2$  в случае плоского напряженного состояния.

Средние напряжения и деформации в слое определяем через их граничные значения [3]:

$$\bar{\sigma}_{21}(x_1) = 0,5(\sigma_{21}^-(x_1) + \sigma_{21}^+(x_1)); \tag{1}$$

$$\bar{\sigma}_{22}(x_1) = 0,5(\sigma_{22}^-(x_1) + \sigma_{22}^+(x_1)); \tag{2}$$

$$\bar{\varepsilon}_{22}(x_1) = u_2^+(x_1) - u_2^-(x_1); \tag{3}$$

$$\bar{\varepsilon}_{11}(x_1) = \frac{1}{2} \left( \frac{\partial u_1^+}{\partial x_1} + \frac{\partial u_1^-}{\partial x_1} \right); \tag{4}$$

$$\frac{\partial \bar{u}_2(x_1)}{\partial x_1} = \frac{1}{2} \left( \frac{\partial u_2^+}{\partial x_1} + \frac{\partial u_2^-}{\partial x_1} \right), \quad \frac{\partial \bar{u}_1(x_1)}{\partial x_1} = u_1^+ - u_1^-. \tag{5}$$

При антисимметричном нагружении берегов полуплоскостей на границах слоя принимаем соотношения

$$\sigma_{21}^- = \sigma_{21}^+; \tag{6}$$

$$u_1^+ = -u_1^-. \tag{7}$$

Проинтегрировав условия равновесия по толщине слоя, получаем связь средних и граничных напряжений

$$\frac{\partial \bar{\sigma}_{11}}{\partial x_1} = \sigma_{12}^-(x_1) - \sigma_{12}^+(x_1); \quad (8)$$

$$\frac{\partial \bar{\sigma}_{21}}{\partial x_1} = \sigma_{22}^-(x_1) - \sigma_{22}^+(x_1). \quad (9)$$

Определяющие соотношения для минимально допустимого в рамках гипотезы сплошности материального объема считаются справедливыми для средних величин. Закон Гука для средних по слою характеристик напряженно-деформированного состояния запишем в виде

$$\bar{\varepsilon}_{11} = A\bar{\sigma}_{11} - B\bar{\sigma}_{22}, \quad \bar{\varepsilon}_{22} = A\bar{\sigma}_{22} - B\bar{\sigma}_{11}, \quad \bar{\sigma}_{12} = C\bar{\varepsilon}_{12},$$

где  $A = \pi/2$ ,  $B = \nu\pi/(2(1-\nu))$ ,  $C = 2(1-\nu)/\pi$  для случая плоского деформирования,  $A = \pi/2$ ,  $B = \pi\nu/2$ ,  $C = 2(1-\nu)/\pi$  для случая плоского напряженного состояния;  $\nu$  — коэффициент Пуассона.

На основе решения Фламана [12] распределение перемещений точек на границах верхней и нижней полуплоскостей под действием нагрузок со стороны слоя представим в форме, удобной для численной реализации задачи методом граничных элементов [13]:

$$u_2^{(p)+}(x_1) = u_2^+(x_1) = \int_0^n \sigma_{22}^+(\xi) \ln \frac{|x_1 - \xi|}{n - \xi} d\xi; \quad (10)$$

$$u_1^{(p)+}(x_1) = u_1^+(x_1) = -P \ln \left( \frac{x_1 + a}{n + a} \right) + \int_0^n \sigma_{21}^+(\xi) \ln \frac{|x_1 - \xi|}{n - \xi} d\xi; \quad (11)$$

$$u_2^{(p)-}(x_1) = u_2^-(x_1) = - \int_0^n \sigma_{22}^-(\xi) \ln \frac{|x_1 - \xi|}{n - \xi} d\xi; \quad (12)$$

$$u_1^{(p)-}(x_1) = u_1^-(x_1) = P \ln \left( \frac{x_1 + a}{n + a} \right) - \int_0^n \sigma_{21}^-(\xi) \ln \frac{|x_1 - \xi|}{n - \xi} d\xi. \quad (13)$$

Здесь  $a$  — отнесенное к  $\delta_0$  расстояние от вершины разреза до точки приложения силы  $P$ , отнесенной к  $\beta\delta_0$ ;  $n$  — безразмерная координата удаленной от конца разреза точки, в которой перемещение считается равным нулю; индекс “(p)” соответствует материалу в полуплоскостях.

В соотношениях (10)–(13) используется условие непрерывности поля перемещений на границах между слоем и полуплоскостями.

Из первого соотношения закона Гука для средних напряжений и из (4), (6)–(8) с учетом граничного условия  $\bar{\sigma}_{11}|_{x_1=0} = 0$  следует тождество  $\bar{\sigma}_{22} \equiv 0$ , из которого с учетом (2) получаем

$$\sigma_{22}^- = -\sigma_{22}^+. \quad (14)$$

С учетом (5), (7) из уравнений (9)–(11) и закона Гука получаем интегродифференциальное уравнение для среднего сдвигового напряжения в слое

$$\bar{\sigma}_{21} = \frac{1}{4} C \left( - \int_0^n \frac{\partial \bar{\sigma}_{21}(\xi)}{\partial \xi} \frac{d\xi}{x_1 - \xi} \right) + C \left( - P \ln \left( \frac{x_1 + a}{n + a} \right) + \int_0^n \bar{\sigma}_{21}(\xi) \ln \frac{|x_1 - \xi|}{n - \xi} d\xi \right) \quad (15)$$

с граничным условием  $\bar{\sigma}_{21}|_{x_1=0} = 0$ .

Определяя из уравнения (15) распределение средних касательных напряжений, из уравнений (1), (6), (9), (14) находим напряжения на границах слоя

$$\sigma_{22}^-(x_1) = -\sigma_{22}^+(x_1), \quad \sigma_{21}^-(x_1) = \sigma_{21}^+(x_1), \quad \frac{\partial \bar{\sigma}_{21}(x_1)}{\partial x_1} = -2\sigma_{22}^+(x_1). \quad (16)$$

В системе (15), (16) неизвестными являются средние по слою и граничные напряжения, которые определяются при задании сосредоточенной антисимметричной силы, приложенной к берегам физического разреза.

Рассматривая напряжения на границах слоя  $\sigma_{22}^+$ ,  $\sigma_{22}^-$ ,  $\sigma_{21}^+$ ,  $\sigma_{21}^-$  и сосредоточенные силы в качестве граничных условий для сопряженных полуплоскостей, определим напряженное состояние в верхней и нижней полуплоскостях с помощью фундаментального решения для линейно-упругой среды [12]:

$$\begin{aligned} \sigma_{22} &= \frac{2}{\pi} \left( \mp \frac{P(x_1 + a)(x_2 \mp \delta_0/2)^2}{((x_1 + a)^2 + (x_2 \mp \delta_0/2)^2)^2} \pm \int_0^n \sigma_{22}^+(\xi) \frac{(x_2 \mp \delta_0/2)^3}{((x_1 - \xi)^2 + (x_2 \mp \delta_0/2)^2)^2} d\xi \pm \right. \\ &\quad \left. \pm \int_0^n \sigma_{21}^+(\xi) \frac{(x_1 - \xi)(x_2 \mp \delta_0/2)^2}{((x_1 - \xi)^2 + (x_2 \mp \delta_0/2)^2)^2} d\xi \right), \\ \sigma_{11} &= \frac{2}{\pi} \left( \mp \frac{P(x_1 + a)^3}{((x_1 + a)^2 + (x_2 \mp \delta_0/2)^2)^2} \pm \int_0^n \sigma_{22}^+(\xi) \frac{(x_1 - \xi)^2(x_2 \mp \delta_0/2)}{((x_1 - \xi)^2 + (x_2 \mp \delta_0/2)^2)^2} d\xi \pm \right. \\ &\quad \left. \pm \int_0^n \sigma_{21}^+(\xi) \frac{(x_1 - \xi)^3}{((x_1 - \xi)^2 + (x_2 \mp \delta_0/2)^2)^2} d\xi \right), \quad (17) \\ \sigma_{21} &= \frac{2}{\pi} \left( \mp \frac{P(x_2 \mp \delta_0/2)(x_1 + a)^2}{((x_1 + a)^2 + (x_2 \mp \delta_0/2)^2)^2} \pm \int_0^n \sigma_{22}^+(\xi) \frac{(x_1 - \xi)(x_2 \mp \delta_0/2)^2}{((x_1 - \xi)^2 + (x_2 \mp \delta_0/2)^2)^2} d\xi \pm \right. \\ &\quad \left. \pm \int_0^n \sigma_{21}^+(\xi) \frac{(x_2 \mp \delta_0/2)(x_1 - \xi)^2}{((x_1 - \xi)^2 + (x_2 \mp \delta_0/2)^2)^2} d\xi \right). \end{aligned}$$

Здесь в символах “ $\pm$ ” и “ $\mp$ ” верхний знак соответствует верхней полуплоскости, а нижний — нижней полуплоскости ( $x_2 < 0$ ).

Таким образом, уравнения (15)–(17) полностью определяют напряженное состояние в слое и на границах верхней и нижней полуплоскостей.

При решении системы (15), (16) полагалось постоянным напряженное состояние в квадрате с единичной стороной в слое. В этом случае система интегродифференциальных уравнений (15), (16) преобразуется в систему линейных алгебраических уравнений

$$\bar{\sigma}_{21}^{(k)} = -\frac{1}{4} C \sum_{i=1}^n (\bar{\sigma}_{21}^{(i)} - \bar{\sigma}_{21}^{(i-1)}) \int_{\xi_{i-1}}^{\xi_i} \frac{1}{x_{1(k)} - \xi} d\xi - CP \ln \left( \frac{x_{1(k)} + a}{n + a} \right) +$$

$$+ C \sum_{i=1}^n \bar{\sigma}_{21}^{(i)} \int_{\xi_{i-1}}^{\xi_i} \ln \frac{|x_{1(k)} - \xi|}{n - \xi} d\xi, \quad (18)$$

$$\sigma_{22}^{-(k)} = -\sigma_{22}^{+(k)}, \quad \sigma_{21}^{-(k)} = \sigma_{21}^{+(k)}, \quad \bar{\sigma}_{21}^{(k)} - \bar{\sigma}_{21}^{(k-1)} = -2\sigma_{22}^{+(k)}, \quad k = 1, \dots, n,$$

$$\bar{\sigma}_{21}^{(0)} = 0,$$

где  $\bar{\sigma}_{21}^{(k)}$ ,  $\sigma_{22}^{-(k)}$ ,  $\sigma_{22}^{+(k)}$ ,  $\sigma_{21}^{-(k)}$ ,  $\sigma_{21}^{+(k)}$  — средние по толщине и граничные напряжения в  $k$ -м элементе, определенные в его середине  $x_{1(k)} = 0,5(\xi_{k-1} + \xi_k)$ ;  $\sigma_{ij}^{(k)} - \sigma_{ij}^{(k-1)} = \partial\sigma_{ij}^{(k)}/\partial x_1$  — аппроксимация первой производной компоненты тензора напряжений на  $k$ -м единичном элементе;  $\xi_{k-1}$ ,  $\xi_k$  — координаты левой и правой границ  $k$ -го элемента на оси  $x_1$ .

Следует отметить, что в подынтегральных функциях  $\int_{\xi_{i-1}}^{\xi_i} \frac{1}{x_{1(k)} - \xi} d\xi$ ,

$\int_{\xi_{i-1}}^{\xi_i} \ln \frac{|x_{1(k)} - \xi|}{n - \xi} d\xi$  при  $x_{1(k)} \in [\xi_{i-1}, \xi_i]$  и  $n = \xi_i$  имеют место сингулярности.

Рассмотрим интегралы

$$\int_{\xi_{i-1}}^{\xi_i} \frac{1}{x_{1(k)} - \xi} d\xi = \ln \left| \frac{x_{1(k)} - \xi_{i-1}}{x_{1(k)} - \xi_i} \right|,$$

$$\int_{\xi_{i-1}}^{\xi_i} \ln \frac{|x_{1(k)} - \xi|}{n - \xi} d\xi = (x_{1(k)} - \xi_{i-1}) \ln |x_{1(k)} - \xi_{i-1}| - (x_{1(k)} - \xi_i) \ln |x_{1(k)} - \xi_i| -$$

$$- (n - \xi_{i-1}) \ln |n - \xi_{i-1}| + (n - \xi_i) \ln |n - \xi_i|,$$

для которых в силу неравенства нулю разностей  $x_{1(k)} - \xi_{i-1}$  и  $x_{1(k)} - \xi_i$  неопределенность присутствует только в выражении  $(n - \xi_i) \ln |n - \xi_i|$  при  $n = \xi_i$ . Однако, поскольку  $\lim_{\xi_i \rightarrow n} (n - \xi_i) \ln |n - \xi_i| = 0$ , значения интегралов конечны.

Показано, что для получения решения с относительной погрешностью менее 0,01 % достаточно ограничиться 1000 элементами.

На основе дискретного решения (18) определялось напряженное состояние в структурных элементах слоя и прилегающих к нему полуплоскостей (рис. 2). Условием перехода из упругого состояния в пластическое являлся критерий Треска — Сен-Венана. В качестве критерия начала разрушения выбиралось максимальное главное напряжение (критерий

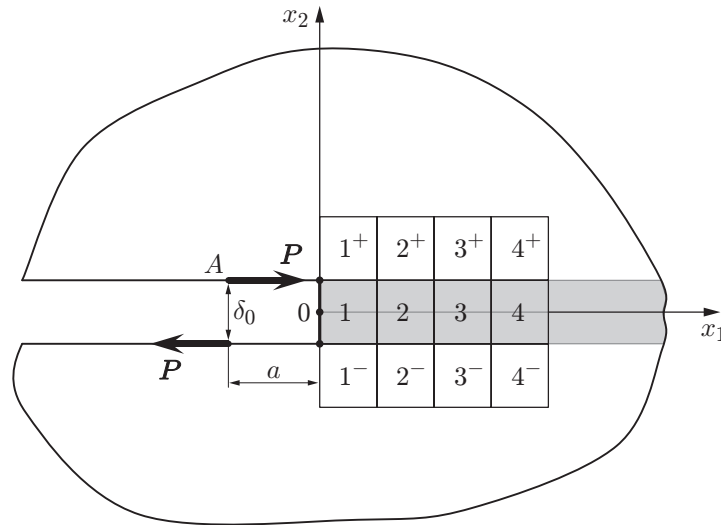


Рис. 2. Структурные элементы в слое и прилегающих к нему полуплоскостях

Кулона). Все критерии рассчитывались для средних напряжений. Средние напряжения в верхней полуплоскости определялись по формулам

$$\bar{\sigma}_{ij}^k = \int_{0,5 \xi_{k-1}}^{1,5 \xi_k} \int \sigma_{ij}(x_1, x_2) dx_1 dx_2,$$

в нижней — по формулам

$$\bar{\sigma}_{ij}^k = \int_{-1,5 \xi_{k-1}}^{-0,5 \xi_k} \int \sigma_{ij}(x_1, x_2) dx_1 dx_2.$$

Напряжения  $\sigma_{ij}(x_1, x_2)$  в полуплоскостях определялись на основе решения задачи о нагружении линейно-упругой полуплоскости сосредоточенной и распределенной нагрузками, определяемыми по соотношениям (17) с использованием решения системы (18).

При толщине слоя, равной нулю ( $\delta_0 = 0$ ), предложенная модель вырождается в классическую модель с математическим разрезом, на продолжении которого может быть получено аналитическое решение [14]. Проинтегрировав соответствующее решение по координате  $x_1$ , находим средние напряжения на единичных элементах:

$$\bar{\sigma}_{21}^a(x_1) = -\frac{P}{\pi} \arcsin \left( \frac{a - x_1}{a + x_1} \right) \Big|_{\xi_{k-1}}^{\xi_k}, \quad \bar{\sigma}_{11}^a = \bar{\sigma}_{22}^a = 0. \tag{19}$$

На рис. 3 приведены аналитическое решение (19) (штриховая линия) и дискретное решение (18) (сплошная линия) для средних по слою напряжений (напряжения отнесены к значению  $\bar{\sigma}_{21}$  на первом элементе, полученному из решения системы (18)).

Получено распределение максимальных главных напряжений на продолжении слоя и в прилегающих к нему полуплоскостях. Напряжения отнесены к среднему сдвиговому напряжению на первом элементе слоя. В расчетах принимались следующие значения параметров задачи:  $E = 2 \cdot 10^{11}$  Па,  $\tau_s = 6 \cdot 10^8$  Па,  $\nu = 0,25$ ,  $a = 5$ . На рис. 4 представлено распределение максимальных главных напряжений в слое и на границах верхней и нижней полуплоскостей. Используя в качестве критерия разрушения критерий Кулона, можно

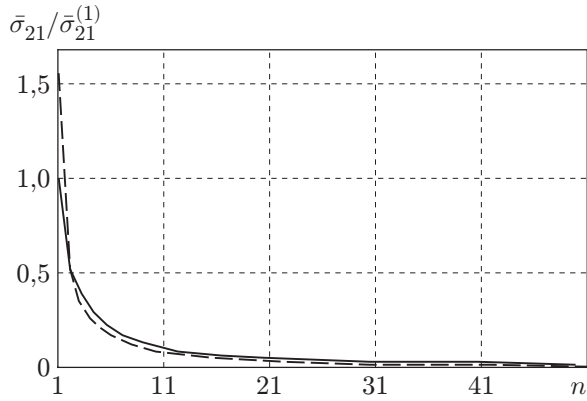


Рис. 3

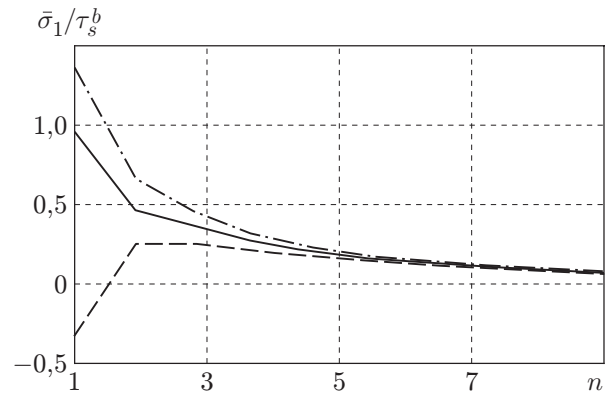


Рис. 4

Рис. 3. Распределение средних касательных напряжений в слое: сплошная линия — дискретное решение (18), штриховая — аналитическое решение (19)

Рис. 4. Распределение максимальных главных напряжений в слое (сплошная линия) и на границах верхней (штриховая линия) и нижней (штрихпунктирная линия) полуплоскостей

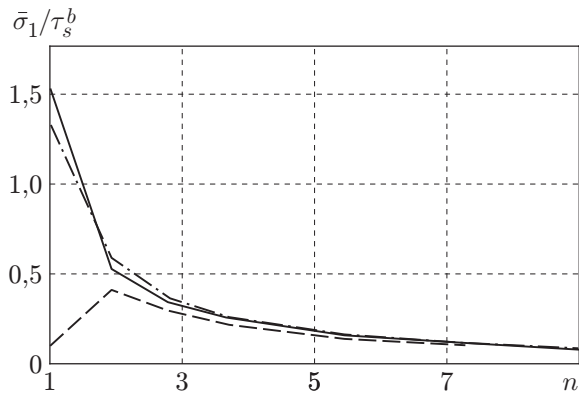


Рис. 5

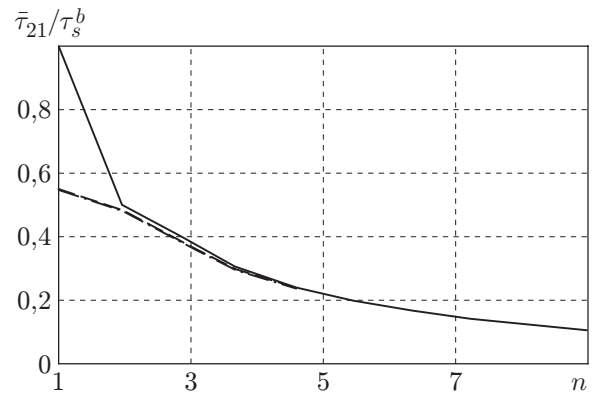


Рис. 6

Рис. 5. Распределение максимальных главных напряжений на продолжении математического разреза (сплошная линия) и границах верхней (штриховая линия) и нижней (штрихпунктирная линия) полуплоскостей

Рис. 6. Распределение максимальных касательных напряжений в слое (сплошная линия) и на границах верхней (штриховая линия) и нижней (штрихпунктирная линия) полуплоскостей

показать, что разрушение начинается в нижней полуплоскости, а при смене знака пары сил — в верхней. Этот результат соответствует экспериментальным данным работы [1].

Распределение максимальных главных напряжений на продолжении математического разреза и на границах верхней и нижней полуплоскостей показано на рис. 5. Из рис. 5 следует, что разрушение должно происходить вдоль математического разреза, однако этот результат противоречит экспериментальным данным.

На рис. 6 приведено распределение максимальных касательных напряжений в слое и на границах структурных элементов вне слоя. Максимальные касательные напряжения на верхней и нижней границах структурных элементов вне слоя приближенно равны (штриховые и штрихпунктирные линии), при этом условие пластичности не выполняется.

**Упругопластическая постановка задачи.** Из упругого решения (см. рис. 6) следует, что в рамках критерия Треска — Сен-Венана пластическое деформирование должно происходить вдоль слоя. Поэтому будем считать, что в слое материал идеально упругопластический, а вне слоя — линейно-упругий. В этом случае зона пластичности моделируется прямоугольником со сторонами длиной  $\delta_0$  и  $l_p$  (см. рис. 1). В качестве условия перехода из упругого состояния в пластическое используем критерий Треска — Сен-Венана, а состояние разрушения будем оценивать по критерию Кулона.

По аналогии с работой [15] рассмотрим три области слоя: область упругого деформирования  $x_1 \in [l_p + 1, n]$ , область перехода из упругого состояния в пластическое  $x_1 \in [l_p, l_p + 1]$ , область упругопластического деформирования  $x_1 \in [0, l_p]$ .

В области упругопластического деформирования для среднего касательного напряжения выполняется условие текучести Треска — Сен-Венана  $|\bar{\sigma}_{21}| = \tau_s^b$  ( $\tau_s^b = \tau_s/\beta$  — безразмерный предел текучести), для граничных напряжений слоя справедливы соотношения (6), (14), а условие равновесия (9) с учетом (14) принимает вид  $\partial \bar{\sigma}_{21}/\partial x_1 = -2\sigma_{22}^+$ .

Таким образом, в случае упругопластического деформирования слоя получаем следующую систему уравнений:

$$|\bar{\sigma}_{21}| = \tau_s^b, \quad \frac{\partial \bar{\sigma}_{21}}{\partial x_1} = -2\sigma_{22}^+, \quad \sigma_{22}^- = -\sigma_{22}^+, \quad \sigma_{21}^- = \sigma_{21}^+. \quad (20)$$

В области упругости  $x_1 \in [l_p + 1, n]$  состояние материала описывается системой уравнений (18). В области перехода  $x_1 \in [l_p, l_p + 1]$  к системе (18) добавляется уравнение достижения средними касательными напряжениями предела текучести  $|\bar{\sigma}_{21}| = \tau_s^b$ . В результате получаем

$$\bar{\sigma}_{21}(x_1) = \frac{1}{4} C \left( - \int_0^n \frac{\partial \bar{\sigma}_{21}(\xi)}{\partial \xi} \frac{d\xi}{x_1 - \xi} \right) + C \left( - P \ln \left( \frac{x_1 + a}{n + a} \right) + \int_0^n \bar{\sigma}_{21}(\xi) \ln \frac{|x_1 - \xi|}{n - \xi} d\xi \right), \quad (21)$$

$$\sigma_{22}^- = -\sigma_{22}^+, \quad \sigma_{21}^- = \sigma_{21}^+, \quad \frac{\partial \bar{\sigma}_{21}}{\partial x_1} = -2\sigma_{22}^+, \quad |\bar{\sigma}_{21}| = \tau_s^b.$$

Системы уравнений (18), (20), (21), описывающие упругопластическое деформирование слоя, решаются при выполнении граничного условия  $\bar{\sigma}_{21}|_{x_1=0} = 0$ . В результате решения определяются напряженное состояние слоя и значение сосредоточенной силы, обеспечивающее данное состояние. Аналогично [15] для получения дискретного решения соответствующих систем задавалось количество элементов, находящихся в пластическом состоянии, один элемент считался переходным, а остальные полагались находящимися в упругом состоянии. Затем количество элементов слоя, находящихся в упругопластическом состоянии, увеличивалось и из соотношений (17) определялось напряженное состояние в верхней и нижней полуплоскостях.

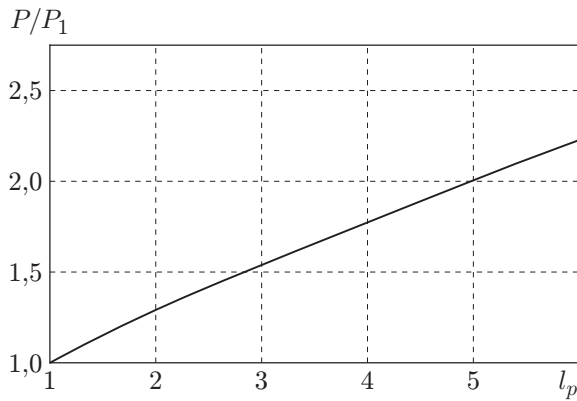


Рис. 7

Рис. 7. Зависимость длины зоны пластичности от сосредоточенной силы

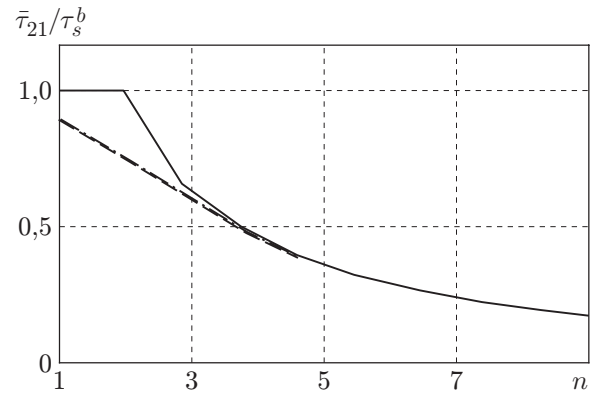


Рис. 8

Рис. 8. Распределение максимальных касательных напряжений в слое (сплошная линия) и на границах между структурными элементами и примыкающими к ним верхней (штриховая линия) и нижней (штрихпунктирная линия) полуплоскостями при упругопластическом деформировании

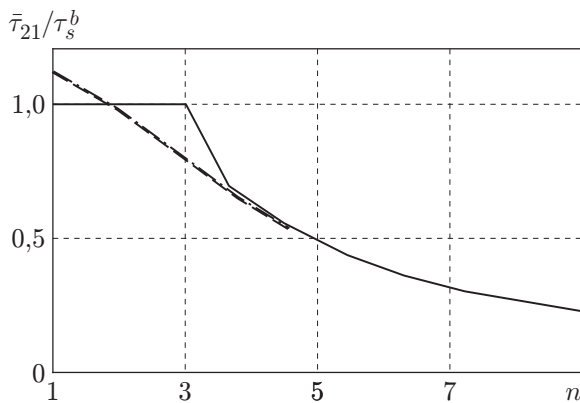


Рис. 9

Рис. 9. Распределение максимальных касательных напряжений в структурных элементах вне слоя (сплошная линия) и на границах между структурными элементами и примыкающими к ним верхней (штриховая линия) и нижней (штрихпунктирная линия) полуплоскостями при упругопластическом деформировании

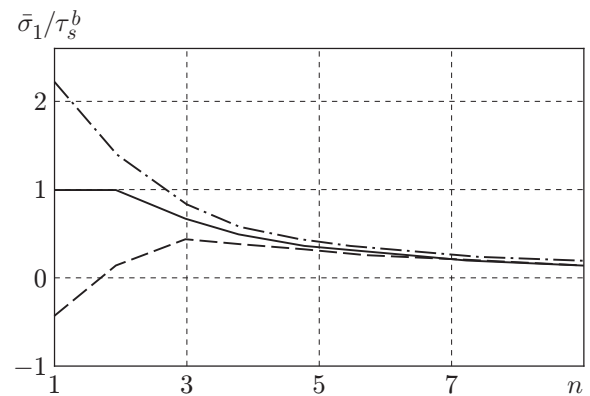


Рис. 10

Рис. 10. Распределение максимальных главных напряжений в первом структурном элементе слоя (сплошная линия) и на границах между структурными элементами и примыкающими к ним верхней (штриховая линия) и нижней (штрихпунктирная линия) полуплоскостями при упругопластическом деформировании

Следует отметить, что при плоской деформации и плоском напряженном состоянии результаты расчетов практически одни и те же, в отличие от случая нормального отрыва [15], когда гидростатическая составляющая тензора напряжений при плоской деформации оказывает существенное влияние на результаты расчетов. Это объясняется тем, что в слое отсутствует гидростатическая составляющая тензора средних напряжений.

На рис. 7 приведена зависимость длины пластической зоны от сосредоточенной силы  $P$ , отнесенной к значению  $P_1$ , при котором образуется первый пластический элемент.

На рис. 8, 9 представлены распределения максимальных касательных напряжений в слое, в структурных элементах вне слоя и на границах между структурными элементами и примыкающими к ним верхней и нижней полуплоскостями. На рис. 8 видно, что в верхней и нижней полуплоскостях касательные напряжения приближенно равны и не превышают предела текучести. Из рис. 9 следует, что в структурных элементах, находящихся за пределами слоя, касательные напряжения достигают предела текучести, при этом область пластичности распространяется за пределы слоя. Однако возникает вопрос, произойдет ли разрушение вне слоя раньше, чем в нем возникнет зона пластических деформаций. На рис. 10 представлено распределение максимальных главных напряжений в первом элементе слоя при пластическом течении. В этом случае максимальное главное напряжение вне слоя в структурном элементе нижней полуплоскости более чем в два раза превышает соответствующее напряжение в слое. Это означает, что разрушение большинства конструкционных материалов произойдет раньше, чем область пластичности распространится за пределы слоя. При этом разрушение будет начинаться в области, деформируемой упруго.

## ЛИТЕРАТУРА

1. **Samudrala O., Huang Y., Rosakis A. J.** Subsonic and intersonic mode II crack propagation with a rate-dependent cohesive zone // *J. Mech. Phys. Solids*. 2002. N 50. P. 1231–1268.
2. **Покровский В., Сидяченко В., Ежов В.** Расчетно-экспериментальное исследование вязкости разрушения теплоустойчивых реакторных сталей с учетом различных мод предварительного термомеханического нагружения // *Вестн. Терноп. нац. техн. ун-та*. 2011. Спецвыпуск, ч. 1. С. 66–73.
3. **Глаголев В. В., Маркин А. А.** Нахождение предела упругого деформирования в концевой области физического разреза при произвольном нагружении его берегов // *ПМТФ*. 2012. Т. 53, № 5. С. 174–183.
4. **Новожилов В. В.** О необходимом и достаточном критерии хрупкой прочности // *Прикл. математика и механика*. 1969. № 2. С. 212–222.
5. **Назаров С. А.** Дискретные модели и осреднение в задачах теории упругости / С. А. Назаров, М. В. Паукшто. Л.: Изд-во Ленингр. гос. ун-та, 1984.
6. **Петров Ю. В.** Квантовая аналогия в механике разрушения твердых тел // *Физика твердого тела*. 1996. Т. 38, № 11. С. 3385–3393.
7. **Корнев В. М.** Распределение напряжений и раскрытие трещин в зоне предразрушения (подход Нейбера — Новожилова) // *Физ. мезомеханика*. 2004. Т. 7, № 3. С. 53–62.
8. **Нейбер Г.** Концентрация напряжений. М.; Л.: ОГИЗ: Гостехтеоретиздат, 1947.
9. **Глаголев В. В., Маркин А. А.** Оценка толщины слоя взаимодействия как универсального параметра материала // *Изв. РАН. Механика твердого тела*. 2006. № 5. С. 177–186.
10. **Глаголев В. В., Маркин А. А.** Определение термомеханических характеристик процесса разделения // *Изв. РАН. Механика твердого тела*. 2007. № 6. С. 101–112.
11. **Glagolev V. V., Markin A. A.** Stress-strain state in elastic body with physical cut // *World J. Mech.* 2013. V. 3, N 7. P. 299–306.

12. **Лурье А. И.** Теория упругости. М.: Наука, 1970.
13. **Крауч С.** Методы граничных элементов в механике твердого тела / С. Крауч, А. Старфилд. М.: Мир, 1987.
14. **Слепян Л. И.** Механика трещин. 2-е изд., перераб. и доп. Л.: Судостроение, 1990.
15. **Глаголев В. В., Маркин А. А.** О распространении тонких пластических зон в окрестности трещины нормального отрыва // ПМТФ. 2009. Т. 50, № 5. С. 206–217.

*Поступила в редакцию 10/VI 2013 г.,  
в окончательном варианте — 18/VI 2014 г.*

---